
Couplage de codes de calculs :
Modélisation mathématique,
Approximation numérique

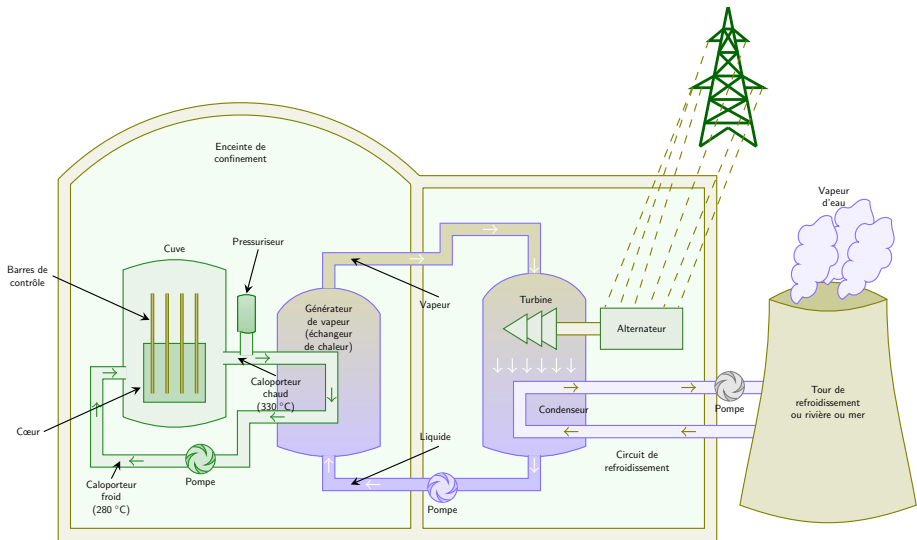
Frédéric COQUEL

CMAP

Ecole Polytechnique

Chaire MMSN, Journée de bilan

MOTIVATIONS INDUSTRIELLES



Problématique générale

Enjeu : Simulation instationnaire des écoulements diphasiques eau-vapeur

Défis :

- ▷ phénomènes **multi-échelles** en temps et en espace.
- ▷ **Hiérarchie de modèles** physiques : *de la DNS aux modèles moyennés*.
- ▷ Ensemble fortement **hétérogène** de modèles mathématiques.

Longueurs caractéristiques en sûreté nucléaire : *du micron au delà du mètre*

**adapter l'effort de résolution en temps et en espace
à la taille des échelles caractéristiques**

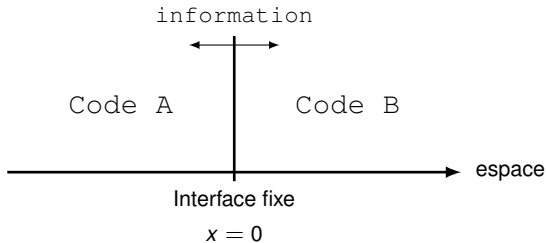
Problématique générale

**Décider localement du modèle le mieux adapté
et procéder au couplage en temps et en espace de
modèles distincts.**

Trois questions mathématiques complémentaires :

- ▷ **Modélisation adaptative** : choix du meilleur modèle localement en temps et en espace, pour un raffinement en maillage fixé.
 - ▷ **Couplage multi-échelles** : coupler des modèles différents au travers d'interfaces minces ou de zones de recouvrement.
 - ▷ **Hiérarchisation mathématique des modèles de thermohydraulique.**
Critères de promotion d'un modèle. Définition des conditions de couplage.
-

Couplage de codes :



Quelle information transmettre ?

- Conservation de certaines quantités physiques
- Continuité de certaines variables pertinentes
- Définition des états « stationnaires » du problème

COUPLAGES CONSERVATIF ET NON-CONSERVATIF

Inconnue $w \in \mathbb{R}^N$

$$\begin{cases} \partial_t w + \partial_x f_-(w) = 0, & x < 0, t > 0, \\ \partial_t w + \partial_x f_+(w) = 0, & x > 0, t > 0. \end{cases}$$

Couplage par flux

$$f_-(w(0^-, t)) = f_+(w(0^+, t)), \quad t > 0.$$

AUDUSSE, PERTHAME, SEGUIN, VOVELLE, TOWERS, KARLSEN, RISEBRO

Couplage conservatif à flux discontinu
Conditions entropiques à l'interface

Couplage par état

$$w(0^-, t) = w(0^+, t), \quad t > 0.$$

ou plus généralement

$$\theta_-(w(0^-, t)) = \theta_+(w(0^+, t)), \quad t > 0.$$

θ_{\pm} changements de variable.

GODLEWSKI, RAVIART

Pas de critère entropique naturel à l'interface
(\Rightarrow besoin d'un retour au niveau microscopique)

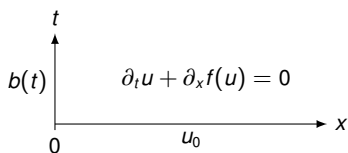
Difficulté : Les approches sont généralement incompatibles !

Exemple du couplage de deux Euler (lois de pressions distinctes)

formulé en $w = (\rho, u, p) \Rightarrow$ continuité de u et p , conservation de ρ et ρu ,
mais ρe n'est pas conservée

RECOLLEMENT DE CONDITIONS AUX LIMITES

Demi-problème de RIEMANN (DUBOIS & LEFLOCH, 1988)



Condition de bord : $u(0^+, t) = b(t)$.

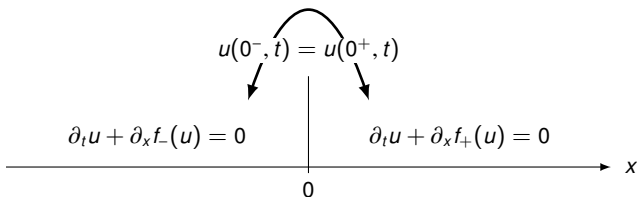
Forme affaiblie :

$u(0^+, t) \in \mathcal{O}(b(t))$, où

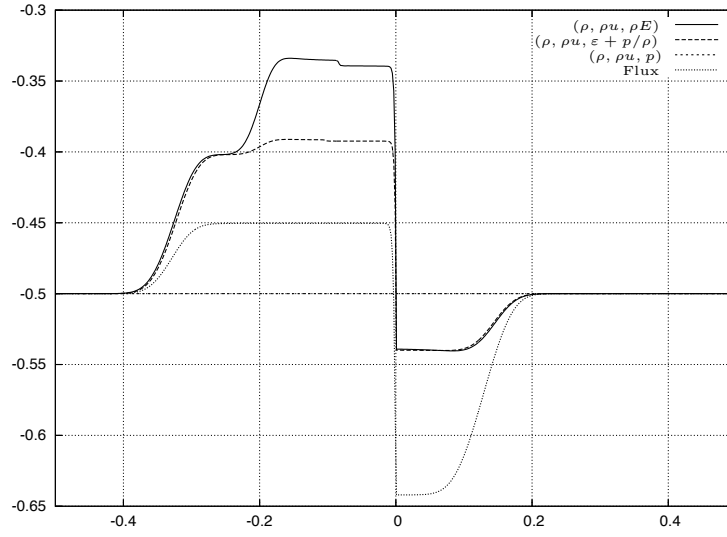
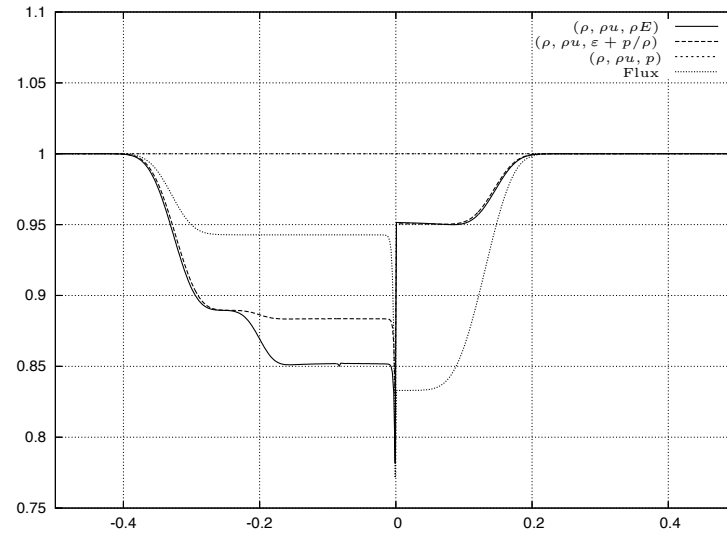
$$\mathcal{O}(b(t)) = \{W(0^+, b(t), \tilde{u}), \tilde{u} \in \Omega\}$$

→ Problème bien posé.

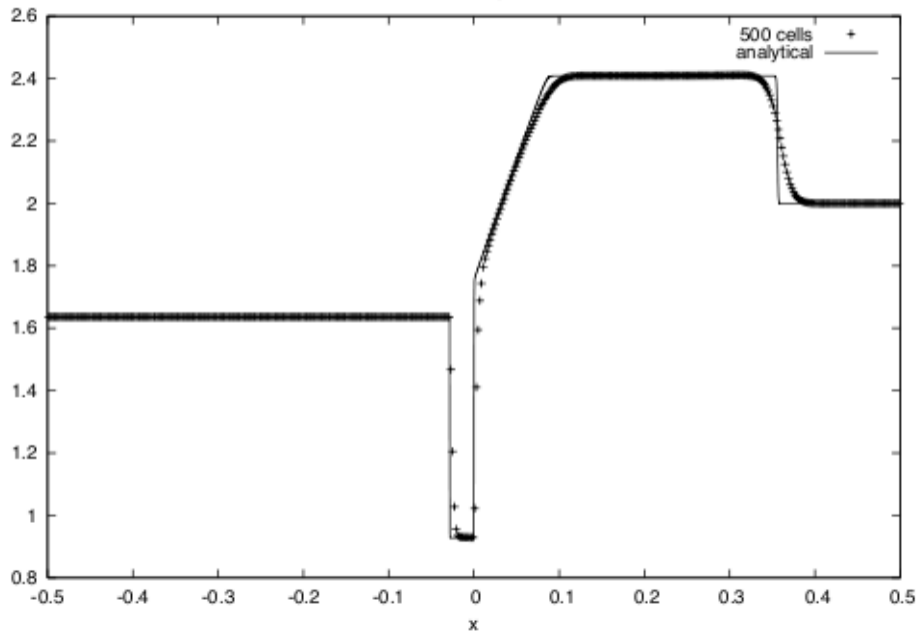
Recollement de deux demi-problèmes de RIEMANN (GODLEWSKI & RAVIART, 2004)



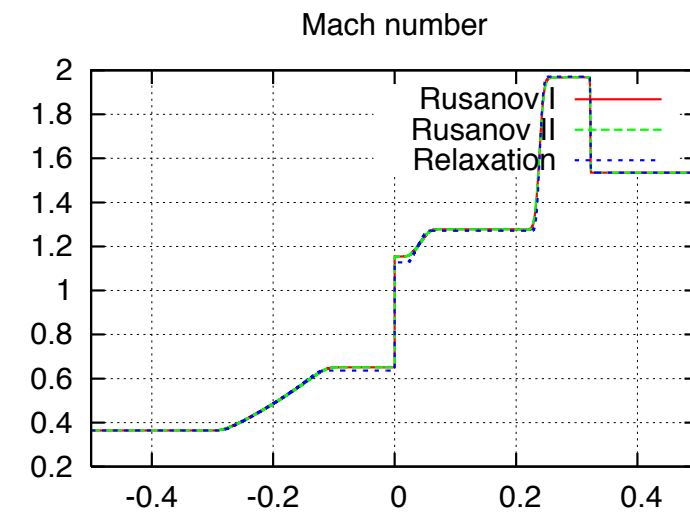
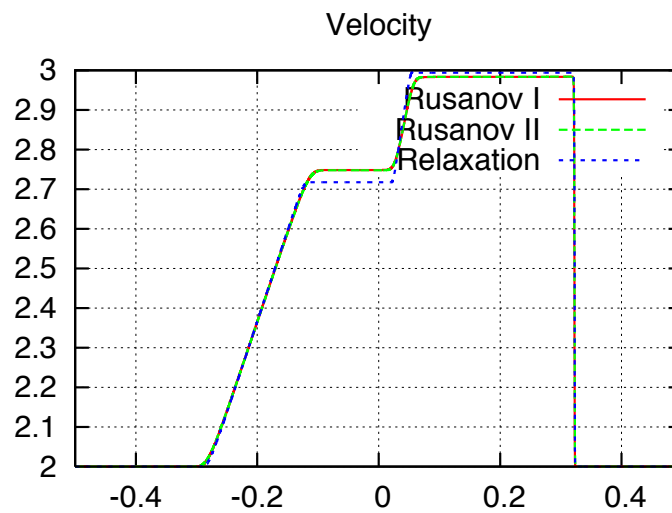
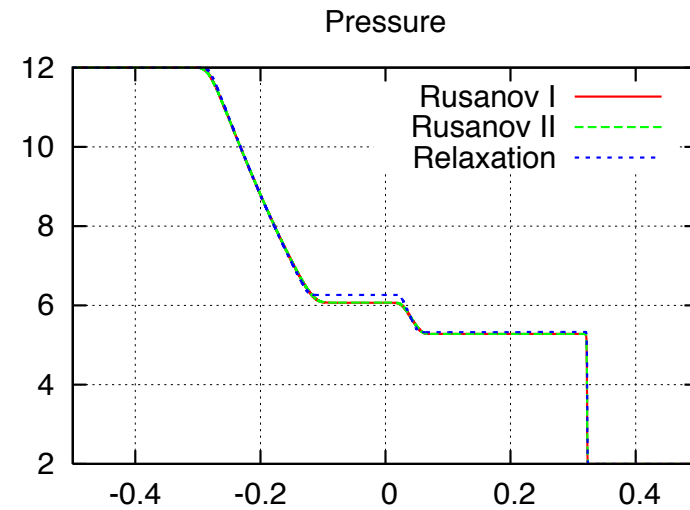
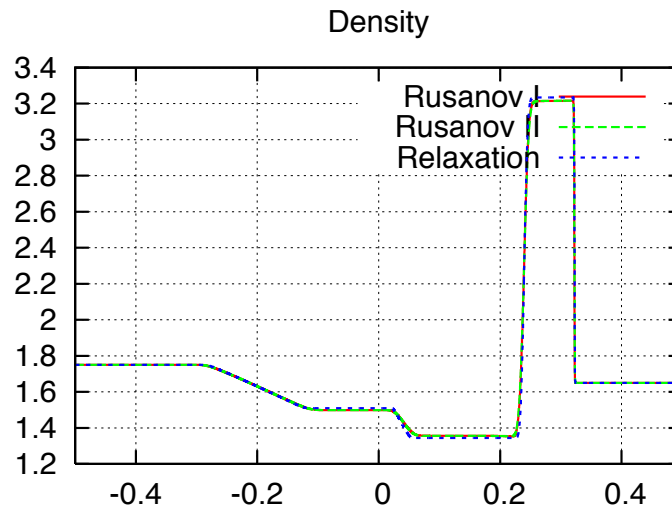
$$\begin{cases} u(0^-, t) \in \mathcal{O}_-(u(0^+, t)), \\ u(0^+, t) \in \mathcal{O}_+(u(0^-, t)). \end{cases}$$

Figure 2: Velocity u with the different coupling methods.Figure 3: Pressure p with the different coupling methods.

Velocity



Numerical tests with multiple solutions



Nous proposons d'ajouter au modèle de couplage une « **structure d'interface** »

- ➊ **suffisamment enrichissante** pour assurer un problème global mathématiquement bien posé/mieux posé.
- ➋ **suffisamment souple** pour envisager de prendre en compte a posteriori des considérations physiques discriminantes (dissipation d'entropie à l'interface, relation cinétique)
- ➌ implémentable numériquement

Deux travaux complémentaires dans cette voie :

- Modèle d'interface mince et analyse de la résonance retour à une régularisation parabolique du problème en considération.
- Modèle d'interface épaisse (zone tampon) et mise en œuvre numérique

FORMULATION AUGMENTÉE DU COUPLAGE

Inconnue $u \in \mathbb{R}^N$, traité ici pour une transmission en u

$$u(0^-, t) = u(0^+, t)$$

$$\begin{array}{c} \partial_t u + \partial_x f_-(u) = 0 \quad | \quad \partial_t u + \partial_x f_+(u) = 0 \\ \hline 0 \end{array}$$

Système augmenté

$$\begin{cases} \partial_t u + A_1(u, v) \partial_x u = 0, \\ \partial_t v = 0, \end{cases} \quad x \in \mathbb{R}, t \geq 0.$$

Fonction de couleur :

$$v(x, 0) = \begin{cases} 1, & x > 0, \\ -1, & x < 0. \end{cases}$$

exemple :

$$A_1(u, v) = \frac{1-v}{2} \nabla f_-(u) + \frac{1+v}{2} \nabla f_+(u), \quad \mathbb{R} - \text{diagonalisable.}$$

Propriétés :

Système global hyperbolique non-conservatif,

Système en u de taille N strictement hyperbolique

Système en (u, v) de taille $N + 1$: **perte d'hyperbolicité**

$\lambda = 0$ est valeur propre multiple si $A_1(u, v)$ n'est pas inversible

(**Manifestation de la résonance à l'interface**).

Hors de la résonance, les composantes de u sont des invariants de RIEMANN pour les ondes de vitesse nulle.

Régularisation parabolique de DAFERMOS : étude des solutions autosemblables en temps grand

Système augmenté régularisé

$$\begin{aligned}\partial_t u^\epsilon + A_1(u^\epsilon, v^\epsilon) \partial_x u^\epsilon &= \epsilon t \partial_x (B_0(u^\epsilon, v^\epsilon) \partial_x u^\epsilon), \\ \partial_t v^\epsilon &= \epsilon^2 t \partial_{xx} v^\epsilon.\end{aligned}$$

Théorème d'existence (BOUTIN, COQUEL, LEFLOCH)

Sous des hypothèses de proximité des données, le problème de RIEMANN pour ce système admet une solution u^ϵ , qui converge simplement vers u à variation bornée, autosemblable, solution entropique (sur chaque demi-espace) de

$$\begin{cases} \partial_t u + \partial_x f_-(u) = 0, & x < 0, t > 0, \\ \partial_t u + \partial_x f_+(u) = 0, & x > 0, t > 0. \end{cases}$$

Cas système $u \in \mathbb{R}^N$, pour des couplages généraux θ_\pm suffisamment proches.

Principe de démonstration : Théorème de point fixe

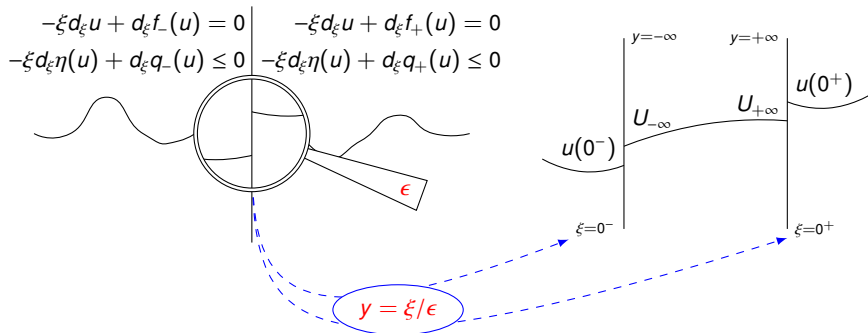
Représentation de la solution sur une base héritée de l'hyperbolicité du système en u

Contrôle des coefficients d'interactions entre les ondes élémentaires qui constituent la solution

Contrôle des coefficients d' **interactions avec l'onde résonnante**

Qu'en est-il des traces à l'interface ?

RENORMALISATION À L'INTERFACE



Principe de renormalisation de la solution révélant la structure à l'interface.

$$U^\epsilon(y) = u^\epsilon(\epsilon y) \text{ et } V^\epsilon(y) = v^\epsilon(\epsilon y).$$

L'EXEMPLE QUADRATIQUE : SOLUTIONS SÉLECTIONNÉES

$$f_L(u) = u^2/2$$

$$f_R(u) = (u - c)^2/2 \text{ avec } c = -1$$

Remarques :

Non-unicité dans certains domaines

Les solutions à deux ondes ont un **état intermédiaire bien déterminé** (après analyse complémentaire par une méthode de Laplace).

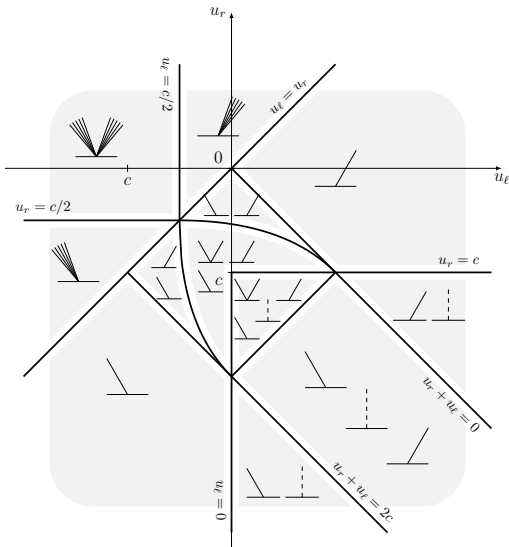
Au plus 4 solutions

Conclusion :

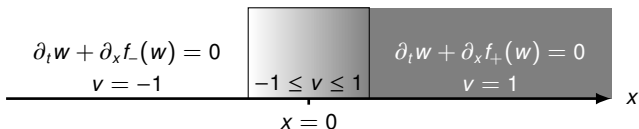
L'approche visqueuse a sélectionné certaines solutions parmi toutes celles satisfaisant à la condition de couplage.

Pourquoi plusieurs solutions ?

Interprétation du problème de Riemann
Cas résonnants.



MODÈLE D'INTERFACE ÉPAISSE



Le couplage par état $\theta_-(w(0^-, t)) = \theta_+(w(0^+, t))$
est ici restitué sous la forme

"les états à u constant sont stationnaires", où

$$u = C_0(w, v), \quad C_0(w, \pm 1) = \theta_{\pm}(w),$$

Modèle d'interface épaisse

$$\partial_t w + \partial_x f(w, v) = \partial_v f(w, v) \partial_x v. \quad (1)$$

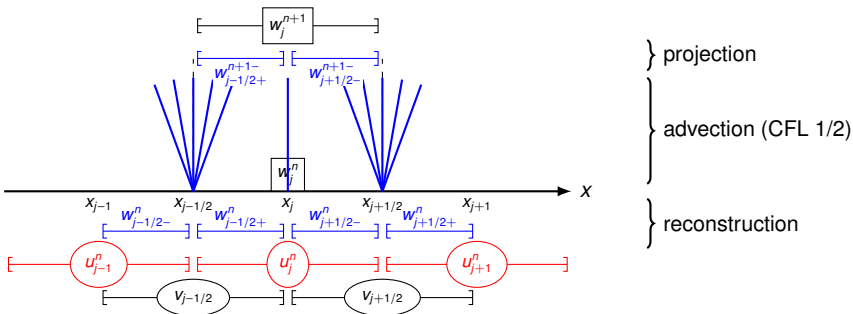
Théorème à la Kružkov non-homogène avec terme source lipschitzien

Soit une à de CAUCHY $w_0 \in L^1(\mathbb{R}) \cap L^\infty(\mathbb{R})$ et $v \in W^{2,\infty}(\mathbb{R})$, alors

$\exists ! w \in L^\infty(\mathbb{R}_+, L^1(\mathbb{R}) \cap L^\infty(\mathbb{R}))$ solution « entropique » de (1).

PRÉSENTATION D'UN CAS SIMPLE 1D

$$\partial_t w + \partial_x h(w, x) = S(w, x)$$



Reconstruction :

$$w_j^n \text{ solution de } w_j^n = \frac{1}{2} \left(\overbrace{C_0(u_j^n, v_{j-1/2})}^{w_{j-1/2+}^n :=} + \overbrace{C_0(u_j^n, v_{j+1/2})}^{w_{j+1/2-}^n :=} \right)$$

Evolution en temps et projection :

$$w_j^{n+1} = w_j^n - \frac{\Delta t}{\Delta x} (H_{j+1/2}^n - H_{j-1/2}^n) - \frac{\Delta t}{\Delta x} (h(w_{j-1/2+}^n, v_{j-1/2}) - h(w_{j+1/2-}^n, v_{j+1/2}))$$

Extension du schéma au cas multiD :

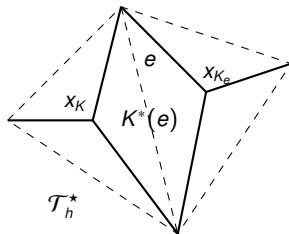
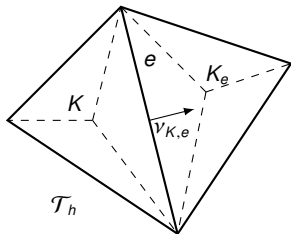
$L + 1$ domaines (géométrie, flux, fonction de couplage) de \mathbb{R}^d

Fonction couleur vectorielle : $v(x) \in \mathbb{R}^L$

Possible recouvrement des domaines

Étape de reconstruction effectuée via un maillage « dual » \mathcal{T}_h^*

Hypothèse de non-dégénérescence du maillage.

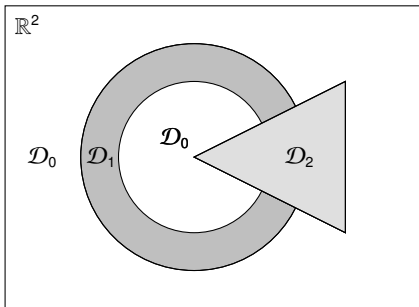


Théorème de convergence du schéma multiD (BOUTIN, COQUEL, LEFLOCH)

La solution numérique converge vers l'unique solution Kružkov de

$$\partial_t w + \partial_x h(w, x) = S(w, x).$$

Configuration géométrique :



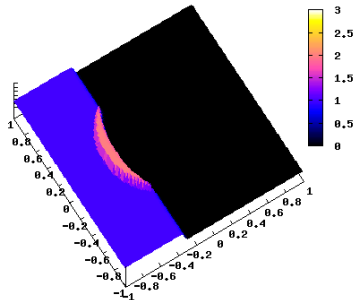
$$\partial_t w + \partial_x f_i(w) = 0, \quad x \in \mathcal{D}_i, \quad i = 0, 1, 2.$$

$$f_0(w) = w^2/2 \begin{pmatrix} 1 \\ 0 \end{pmatrix}, \quad \theta_0(w) = w,$$

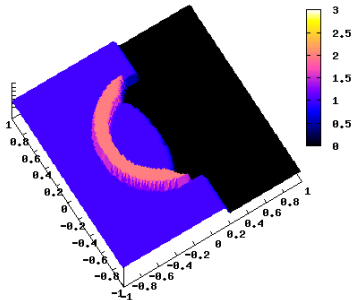
$$f_1(w) = w^2/2 \begin{pmatrix} 0.5 \\ 0 \end{pmatrix}, \quad \theta_1(w) = w/2,$$

$$f_2(w) = w^2/2 \begin{pmatrix} 0 \\ 1 \end{pmatrix}, \quad \theta_2(w) = w/3.$$

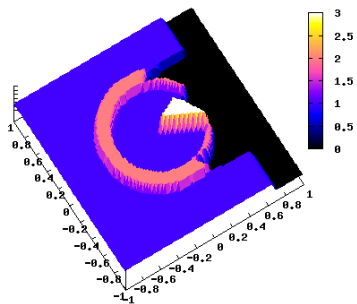
$$\theta_i(w(x^i, t)) = \theta_j(w(x^j, t)), \quad i \neq j.$$



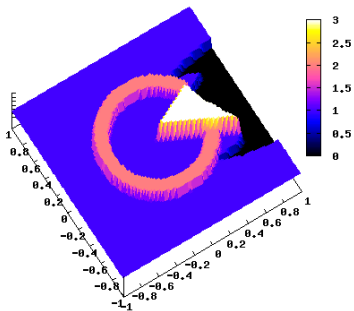
(a) Solution w at $t = 1.0$



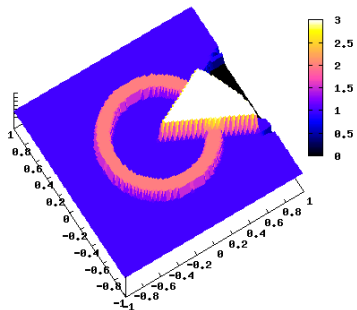
(b) Solution w at $t = 2.0$



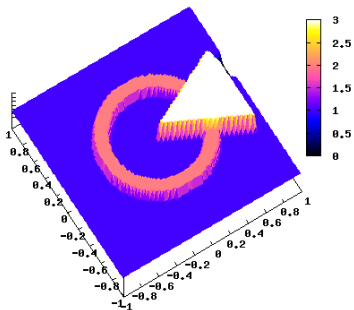
(c) Solution w at $t = 3.0$



(d) Solution w at $t = 4.0$



(e) Solution w at $t = 5.0$



(f) Solution w at $t = 6.0$

Figure 6: Three domains - evolution of the solution w .

Nouveaux Challenges Mathématiques et Numériques

- ▷ **Modélisation adaptative** : construction d'indicateurs d'erreurs locaux, issus d'une analyse *a posteriori*, équilibrant erreur de discrétisation et erreur de modélisation.
 - ▷ Couplage de codes : **adaptation instationnaire** de l'emplacement de l'interface.
 - ▷ Sélection locale en temps et en espace du **meilleur couple modèle-maillage**.

CEMRACS 2011
Couplage Multiéchelle de modèles complexes,
18 Juillet-26 Aout 2011, CIRM, Luminy

Organisateurs : FC (CMAP), Frédéric Lagoutière (Orsay), Philippe Helluy (Strasbourg), Christian Rohde (Stuttgart), Nicolas Seguin (P6)

Une problématique mathématique et numérique récente

- ▷ Ensemble de questions mathématiques et numériques explorées dans d'autres domaines de la Physique depuis une décennie aux USA et en Europe (exemple : modélisation nano-macro).
- ▷ Contexte des systèmes hyperboliques plus récent : **impulsion du projet NEPTUNE** (CEA, EDF, AREVA-NP et IRSN).

Diversité des challenges :

- ▷ **Couplage instationnaire de codes existants** : interfaces de couplage fixes et infiniment minces (approche non intrusive).
 - ▷ **Modélisation adaptative et couplage de modèles** : sélection dynamique de modèles, interfaces de couplage instationnaires minces ou épaisses.
 - ▷ **Couplage volumique micro-macro** : construction dynamique (ou en pré-processeur) des lois de fermeture.
-